

لیتوژئوشیمی و دگرسانی در اثر معدنی مس پورفیری سرنو، شمال غرب شهربابک، با نگرشی ویژه به سیالات درگیر

مجید قادریⁱ; اردشیر هزارخانیⁱⁱ; احسان زین الدینیⁱⁱⁱ

چکیده

اثر معدنی مس پورفیری سرنو در شمال غرب شهربابک، در بخش جنوبی کمربند و لکانوپلوتونیک ارومیه-دختر واقع شده است. قدیمی‌ترین واحدهای زمین‌شناسی منطقه، آتشفشارانی‌ها و آذرآواری‌های اثوسن هستند که پورفیری‌های دیوریت و کوارتزدیوریتی الیکومیوسن و داسیت‌ها و آندزیت‌های نئوزن در آنها نفوذ کرده‌اند. توده نفوذی دیوریتی و کوارتزدیوریتی مولد کانه‌زایی در امتداد سیستم گسلی اصلی منطقه سرنو با کشیدگی شرقی-غربی جایگزین شده است. دگرسانی‌های موجود بیشتر از نوع فیلیک، آرژیلیک و پروپیلیتیک است و بیوتیتی شدن (دگرسانی پتاسیک ضعیف) به صورت محدود کسترشن دارد. کانه‌زایی شامل مالاکیت، پیریت و کالکوپیریت است. ویژگی‌های ژئوشیمیایی تشکیل این اثر معدنی با مطالعات سیالات درگیر مشخص شد و نیز با بهره‌گیری از داده‌های زمین‌آماری، همبستگی مس با اکسیدهای عناظر اصلی و عناظر مولیبدن، سرب و روی، عمق فرسایش مشخص گردید. بیشتر سیالات درگیر سرنو، تکفازی و غنی از کاز است و دمای متوسط تولید سیالات ماقمایی حدود ۵۷۵ درجه و در عمق حداقل ۲۰۰۰ متر و نیز همگن‌شدن فازهای نهایی، در درجه سانتی‌گراد منطبق با دگرسانی فیلیک، شوری پایین ۲۲/۹ درصد وزنی معادل نمک طعام و متوسط عمق، ۵۰۰ متر برآورد شد. با توجه به این دمای همگن‌شدن؛ که برای تشکیل یک زون فیلیک زایا برای این تیپ از کانسارها بسیار مناسب است، عدم وجود کانه‌زایی اقتصادی در این منطقه به علت ناپایداری و پایین بودن میزان کمپلکس‌های کلوروره مس و در نتیجه، سالمتر ماندن فلدسپات‌های قلیایی است که خود عامل کاهش شوری سیال است. در نتیجه، مقدار ناچیزی کالکوپیریت اولیه و تشکیل شده نیز اکسید شده و از سیستم خارج شده است؛ لذا انجام کارهای اکتشافی تکمیلی بر روی اثر معدنی سرنو، به علت اقتصادی نبودن آن، در حال حاضر پیشنهاد نمی‌شود.

کلمات کلیدی

لیتوژئوشیمی، دگرسانی، سیالات درگیر، مس پورفیری، سرنو

Lithogeochemistry & Alteration at Serenu Porphyry Copper Occurrence, Northwest of Shahr-e-Babak, With Special Reference to Fluid Inclusions

Majid Ghaderi; Ardesir Hezarkhani; Ehsan Zeinadini

ABSTRACT

Serenu porphyry copper occurrence is located northwest of Shahr-e-Babak, in southern part of Orumieh-Dokhtar volcano-plutonic belt. Eocene volcanics and pyroclastics are the oldest geological units in the area. Oligo-Miocene diorite and quartzdiorite and Neogene dacite and andesite intruded the volcanics. Mineralized diorite and quartz diorite porphyries have emplaced along the main E-W trend fault system of the Serenu area. The alteration types are phyllitic, argillic, propylitic and minor biotitization (weak potassic). The mineralization occurs as malachite, pyrite and chalcopyrite. Geochemical characteristics for the formation of the occurrence were determined through fluid inclusion studies. Moreover, using geostatistical data, the

ⁱ استادیار؛ گروه زمین‌شناسی اقتصادی؛ دانشگاه تربیت مدرس: mghaderi@modares.ac.ir

ⁱⁱ دانشیار؛ دانشکده مهندسی معدن، متالورژی و نفت؛ دانشگاه صنعتی امیرکبیر

ⁱⁱⁱ دانشجوی کارشناسی ارشد زمین‌شناسی اقتصادی؛ دانشگاه تربیت مدرس

correlation between Cu and major oxides as well as Mo, Pb and Zn, the erosion depth of the occurrence was identified. The majority of fluid inclusions are mono-phase and vapor-rich, showing an average magmatic fluid generation of 575°C at 2000 meters depth; also, homogenization temperature of 321°C consistent with phyllitic alteration and low salinity of 22.9 wt% NaCl equivalent, indicating an average depth of 500 meters. Since this homogenization temperature is suitable for the formation of a mineralized phyllitic zone for this type of deposits, lack of economic mineralization in the area could be due to the instability and low amount of chlorine complexes and as a result, intact alkali-feldspars which itself is the reason for low salinity of the fluid. Therefore, the initial minor chalcopyrites have been oxidized and have left the system. For this reason, at present, conducting complementary exploration on the occurrence is not recommended.

KEYWORDS:

Lithogeochemistry, Alteration, Fluid Inclusions, Porphyry Copper, Serenu

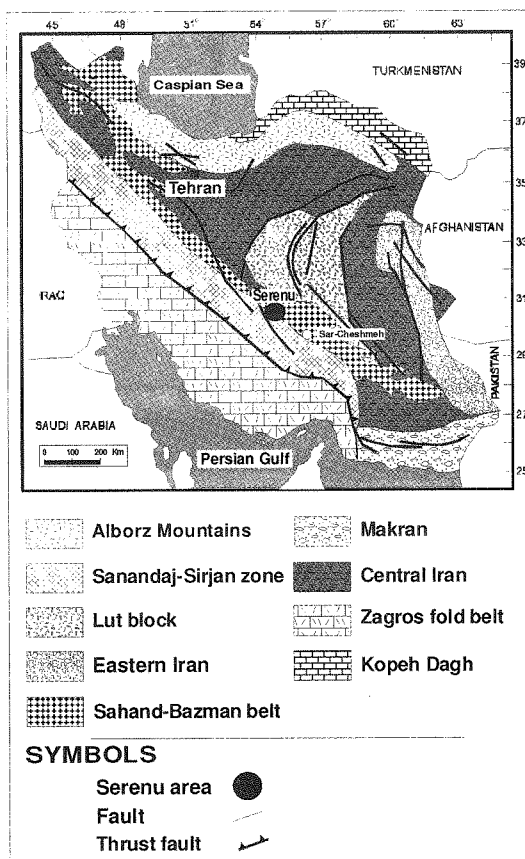
۱۰۸ آنالیز XRF برای اکسیدهای عناصر اصلی و AAS برای عنصر فرعی Zn، Pb، Mo، Cu و ۲۰ آنالیز XRD برای مطالعات لیتوژئوژئمیابی و دگرسانی بر روی نمونه‌های سنگی در آزمایشگاه مرکزی مجتمع مس سرچشم صورت گرفت.

۱- مقدمه

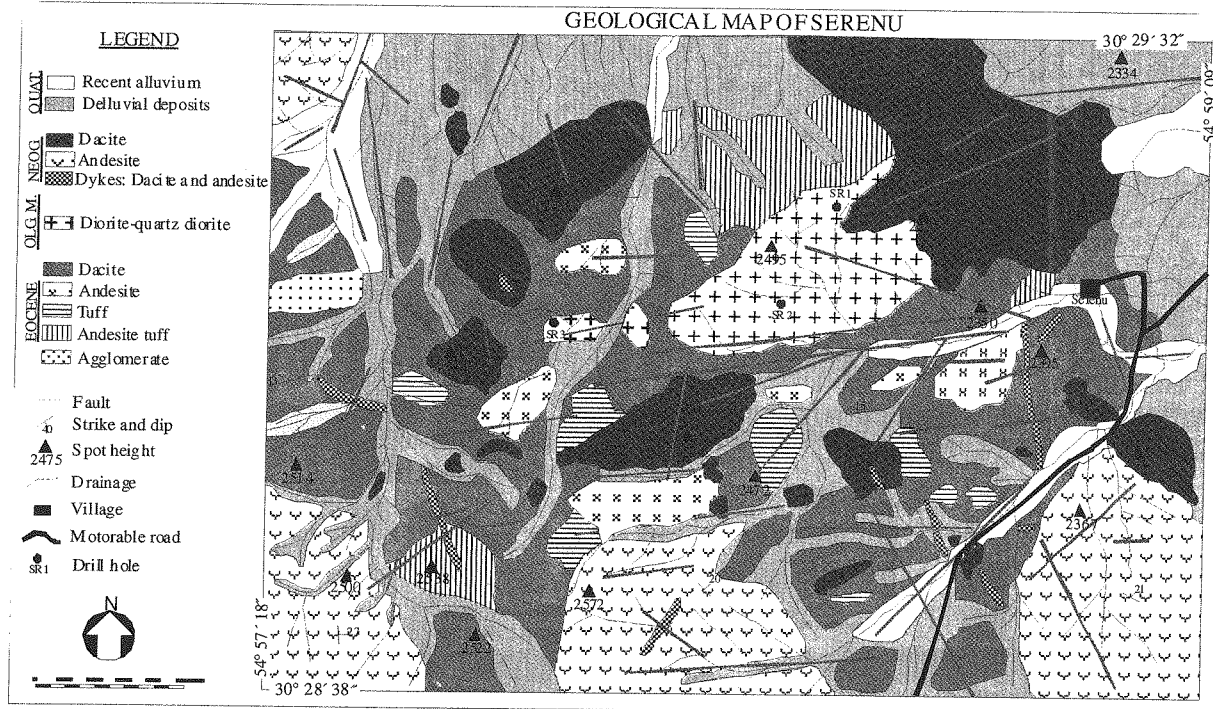
اثر معدنی مس پورفیری سرنو در ۵۰ کیلومتری شمالغرب شهریابک در محدوده طول‌های جغرافیایی $54^{\circ}57'18''$ تا $54^{\circ}59'09''$ شرقی و عرض‌های جغرافیایی $30^{\circ}28'38''$ تا $30^{\circ}29'22''$ شمالی قرار گرفته است که بر اساس تقسیم‌بندی زمین‌ساختی [۱۰]، در قسمت شمال‌غربی کمربند دفعه‌ساردوئیه قرار دارد که خود بخشی از کمربند ولکانوپلتوتونیکی ارومیه-دختر است (شکل ۱). راههای دسترسی به منطقه از طریق جاده آسفالت شهریابک به جوزم و همچنین جاده آسفالت رفسنجان- اثار- جوزم است. منطقه توپوگرافی کوهستانی و ارتفاعات بین ۲۲۵۰ تا ۲۵۵۰ متر دارد و مناطق کمارتفاوت از ۲۴۰۰ متر، نسبتاً هموار و سهل‌الوصول است. آبراهه‌ها به صورت شعاعی در جهات گوناگون توسعه یافته‌اند؛ اما آبراهه‌های اصلی، شرقی- غربی هستند. عمده‌ترین مطالعات انجام‌یافته در این منطقه را زمین‌شناسان گروه یوگسلاو در طی سال‌های ۱۹۷۱ و ۱۹۷۳ و ۱۹۷۶ انجام داده‌اند [۱۱]، [۱۲]، [۱۰]، [۱۳] در بررسی حاضر، سعی بر آن است تا با تجزیه و تحلیل داده‌های علمی جدید شامل مطالعه لیتوژئوژئمی، دگرسانی و سیالات درگیر، امکان ادامه عملیات اکتشافی بر روی این اثر معدنی ارزیابی شود تا در صورت منفی بودن نتایج، از صرف هزینه‌های اضافی جلوگیری شود.

۲- روش مطالعه

مراحل اجرایی پژوهش حاضر شامل شناسایی اولیه ناحیه، تهیه نقشه زمین‌شناسی و سپس پیاده کردن شبکه نمونه‌برداری 100×100 متر در محدوده ۳ کیلومتر مربع بوده است. در مجموع، ۱۰۸ نمونه سنگی از منطقه برداشت شد که ۱۰۹ مقطع نازک، ۹ مقطع صیقلی و ۲۰ مقطع دوبرصیقل برای بررسی دگرسانی، کانه‌زایی و مطالعه سیالات درگیر و همچنین



شکل (۱): موقعیت اثر معدنی سرنو بر روی نقشه زمین‌شناسی ایران [۱۹]



شکل (۲): نقشه زمین‌شناسی محدوده اثر معدنی سرنو [۴]

در سنگ‌های آتشفسانی ائوسن نفوذ کرده است [۲۴]. توده مزبور، رگچه‌های کوارتز نسبتاً فراوان و شکستگی‌های متعدد همراه با کانه‌زایی مالاکیت دارد. کالکوپیریت و پیریت بیشتر اکسیده شده‌اند. داسیت‌ها و آندزیت‌های شوژن، حاصل جوان‌ترین فعالیت آتشفسانی در منطقه هستند که بیشترین ارتفاعات را تشکیل می‌دهند. این سنگ‌های جوان، در نمونه دستی، متراکم و سخت و فاقد دگرسانی و کانه‌زایی هستند. ماسه‌سنگ‌ها و کنگلومراهای شوژن در جنوب‌غربی منطقه توسعه یافته‌اند. نهشته‌های کوارتنری، قسمت وسیعی از اطراف منطقه مورد مطالعه را می‌پوشانند که در طول آبراهه‌ها دیده می‌شوند و از قطعات و مواد آتشفسانی نیمه‌زاویه‌دار تشکیل شده‌اند. در شکل (۲) نقشه زمین‌شناسی منطقه آورده شده است.

سنگ‌های آتشفسانی و آذرآواری ائوسن

قدیمی‌ترین و فراوان‌ترین سنگ‌های منطقه، آتشفسانی‌ها و آذرآواری‌های ائوسن هستند که عموماً از آندزیت، داسیت، آگلومرا و توف تشکیل شده‌اند [۲۴].

حفرات سطح سنگ، نشانگر بقایای بیوتیت و پلاژیوکلاز است که آهن آزاد شده از دگرش کانی‌ها (لیمونیت) این حفرات را پر و یا سطح سنگ را رنگ‌آمیزی کرده است. کانی‌های درشت آن، بیشتر پلاژیوکلازان، بیوتیت و هورنبلند هستند. پلاژیوکلازها بیشتر رسی می‌شوند و به خوبی قابل تشخیص

در این پژوهش، سعی بر آن است که وضعیت زمین‌شناسی منطقه، نقش توده‌های نفوذی، آتشفسانی‌های ائوسن و گسل‌ها در کانه‌زایی اثر معدنی مس پورفیری سرنو، تفکیک انواع دگرسانی‌ها و همچنین تشخیص مناطق حاوی کانه‌زایی و ارتباط آن با نوع دگرسانی؛ و نیز نحوه توزیع عنصر مس، مولیبدن، سرب و روی و اکسیدهای عناصر اصلی، ارزیابی شود. در این راستا همچنین به تجزیه و تحلیل داده‌ها و نیز بررسی سیالات درگیر شامل تعیین درجه شوری، درجه حرارت سیال کانسارسان، عمق جایگزینی و فشار پرداخته می‌شود.

۳- زمین‌شناسی

قدیمی‌ترین و فراوان‌ترین سنگ‌های منطقه را آتشفسانی‌ها و آذرآواری‌های ائوسن تشکیل می‌دهند که شامل آندزیت، داسیت، آگلومرا و توف است و در اثر نفوذ توده کوارتزدیوریت و دیوریت پورفیری، دگرسان شده‌اند [۴]، [۷]، [۱۱]، [۲۵]. در بعضی مناطق، این دگرسانی همراه با کانه‌زایی است. کوارتزدیوریت‌های پورفیری شامل سه توده کوچک هستند که در بخش شمالی منطقه دگرسان شده مشاهده می‌شوند و به احتمال قوی، معرف قسمت‌های بالایی یک توده نفوذی بزرگ‌تر هستند. کوارتزدیوریت‌های پورفیری سرنو، اولین و مهم‌ترین فاز نفوذی در منطقه‌اند. منشأ کانه‌زایی مس و مولیبدن در منطقه، همین توده استوکی با سن نسبی الیگومیوسن است که

پتاسیم زمینه، کلریت، بیوتیت ثانویه و سریسیت حاصل از تجزیه بیوتیت‌های اولیه و هورنبلند است (شکل ۳).

داسیت‌ها و آندزیت‌های نئوژن

داسیت‌ها و آندزیت‌های نئوژن، حاصل جوانترین فعالیت آتشفشاری در این منطقه است و سن آنها را می‌توان پلیو-پلائیستوسن در نظر گرفت. این سنگ‌ها در نمونه دستی، متراکم، سخت و فاقد دگرسانی هستند. درشت‌بلورهای پلازیوکلاز و بیوتیت در داسیت‌ها و درشت‌بلورهای پلازیوکلاز در آندزیت‌ها به راحتی قابل تشخیص است. این سنگ‌ها ترکیب کانی‌ای متغیر دارند و با توجه به تغییرات میزان کوارتز، ترکیب داسیتی از خود نشان می‌دهند. در مطالعه مقاطع نازک، درشت‌بلورهای پلازیوکلاز، بیوتیت و هورنبلند به خوبی قابل تشخیص است و در داسیت‌ها علاوه بر کانی‌های فوق، کوارتز نیز دیده می‌شود. زمینه ریزدانه و بیشتر از پلازیوکلاز و کمتر از کوارتز، کلسیت و کانی‌های تیره تشکیل شده و بافت میکرولیتیک پورفیری نیز دارند. کلریتی‌شدن کانی‌های مافیک (بیوتیت و هورنبلند) مشخص است. خوردگی خلیجی کوارتز در طی بالاً‌آمدن ماقما و به علت تغییر فشار حاصل شده است و یا اینکه نتیجه رشد ناپایدار اولیه است (شکل ۲۶). (شکل ۳).

۴- دگرسانی

در منطقه سرتو، دگرسانی گرمابی با گسترش تقریبی ۳ کیلومتر طول و بیش از یک کیلومتر عرض در جهت شرقی-غربی، آتشفشاری‌ها و آذرآواری‌های ائوسن و توده کوارتزدیوریت پورفیری را تحت تأثیر قرار داده است [۱۰]. دگرسانی در منطقه به صورت یکنواخت اتفاق نیفتاده و بیشترین گسترش آن در کوارتزدیوریت‌های پورفیری؛ که غالباً خرد و برشی هستند، مشاهده می‌شود.

سنگ‌های آذرین این منطقه، تحت تأثیر دگرسانی‌های پتاسیک ضعیف (بیوتیت‌شدن)، فیلیک، آرژیلیک، پروپیلیتیک و سیلیسی‌شدن قرار گرفته‌اند. تشخیص انواع دگرسانی‌های منطقه، بر اساس مشاهده رخمنون سنگ‌ها، بررسی نمونه‌های دستی، نتایج آنالیز و مطالعات میکروسکوپی صورت گرفته است. دگرسانی گرمابی باعث تغییر کانی‌های اولیه و تشکیل کانی‌های ثانویه؛ مانند سریسیت، کلریت، اپیدوت، کائولینیت، کربنات‌ها، سیلیس و کانی‌های معدنی شده است.

هستند. کوارتز به مقدار خیلی کم مشاهده می‌شود. کانی‌های تیره آن بیشتر به وسیله کلریت جانشین شده‌اند. شناسایی هورنبلندها با ویژگی‌هایی نظیر شکل سوزنی، رنگ روشن و جلای مات و بیوتیت‌ها با شکل کشیده تا شش‌گوش، رنگ سیاه و جلای درخششنه، امکان‌پذیر می‌شود. آپاتیت به صورت فرعی دیده می‌شود. مطالعه مقاطع نازک این سنگ‌ها، ترکیب زمینه را کانی‌های ریز سریسیت، کوارتز، فلدسپار پتاسیم، اکسید آهن، کلریت، هورنبلند و کانی‌های فلزی نشان داده و اکسید آهن به همراه کلریت به صورت پراکنده و یا در امتداد شکستگی‌های پلازیوکلاز به رنگ سبز قهوه‌ای مشاهده می‌شود. در ضمن، در اثر سوختن کانی‌های مافیک نظیر هورنبلند و بیوتیت در حاشیه و یا در امتداد رخ‌های آنها، نواری از اکسید آهن (هماتیت) ملاحله می‌شود. بافت معمول، میکرولیتیک پورفیریک و میکروگرانولار پورفیریک است. پلازیوکلازها نیمه‌شکلدار و دارای ماکل پلی‌ستنتیک هستند که بیشتر در اثر دگرسانشدن به سریسیت، ماکل خود را به خوبی نشان نمی‌دهند. هورنبلند قهوه‌ای در متن سنگ‌ها وجود دارد که برخی از آنها سالم و رخ‌لوزی‌شکل دارند و اکثر آنها به اکسید آهن، بیوتیت، کلریت و کمتر اپیدوت تجزیه شده‌اند و قالب لوزی‌شکل آنها قابل مشاهده است. کانی‌های فرعی شامل زیرکن، آپاتیت و تیتانیت است و زمینه را پلازیوکلازهای میکرولیتی، کوارتز و سریسیت تشکیل می‌دهد. کانی‌های ثانویه شامل سریسیت، کلریت، کلسیت و اپیدوت است (شکل ۳).

دیوریت و کوارتزدیوریت پورفیری الیگومیوسن

دیوریت و کوارتزدیوریت پورفیری منطقه، سه توده کوچک را در قسمت شمالی سنگ‌های بخش دگرسانشده تشکیل می‌دهند. این سنگ‌ها ساختار پورفیری هولوکریستالین و رنگ خاکستری روشن دارند. بافت آنها، پورفیری تا همسان‌دانه و کانی‌های اصلی تشکیل‌دهنده سنگ، پلازیوکلاز، بیوتیت، هورنبلند و کوارتز است. آپاتیت به صورت فرعی دیده می‌شود. درشت‌بلورهای شکل‌دار و نیمه‌شکل‌دار پلازیوکلاز به صورت زوئال، سریسیتی و کربناتی شده می‌باشند. مقداری کوارتز بی‌شکل و نیمه‌شکل‌دار به صورت پراکنده و با جلای شیشه‌ای دیده می‌شود. کانی‌های تیره شامل بیوتیت و هورنبلند است و به وسیله کلریت و کوارتز جانشین شده‌اند. زمینه، دانه‌متوسط و از پلازیوکلاز، کلسیت، فلدسپار پتاسیم، کوارتز و مقدار کمی بیوتیت تشکیل یافته است. کانی‌های ثانویه حاصل از دگرسانی کانی‌های اصلی و فرعی؛ که در متن سنگ دیده می‌شوند عبارت از سریسیت و فلدسپار پتاسیم حاصل از تجزیه شدید پلازیوکلازها، کانی‌های رسی حاصل از تجزیه فلدسپارهای

دگرسانی فیلیک: این دگرسانی (که با رنگ روشن مشخص است) در منطقه سرنو از نظر شدت و گسترش بر دیگر مناطق دگرسانی برتی دارد، به طوری که دگرسانی‌های دیگر را به میزان زیادی متاثر ساخته، آنها را پوشانده و علاوه بر قسمت‌هایی از توده نفوذی، سنگ دیواره و آتشفشانی‌ها را نیز تحت تأثیر قرار داده است. سریسیت به همراه کوارتن، مؤید دگرسانی فیلیک در منطقه است [۱۴]، (شکل ۴).

دگرسانی آرژیلیک: در منطقه مورد مطالعه، رسی‌شدن در قسمت‌هایی از توده نفوذی و بیشتر در آتشفشانی‌های ائوسن مشاهده شد. بر اساس مطالعات میکروسکوپی، رسی‌شدن، بیشتر پلاژیوکلازها را تحت تأثیر قرار داده است. در اطراف رگچه‌های سیلیسی نیز گسترش کانی‌های رسی مشاهده می‌شود.

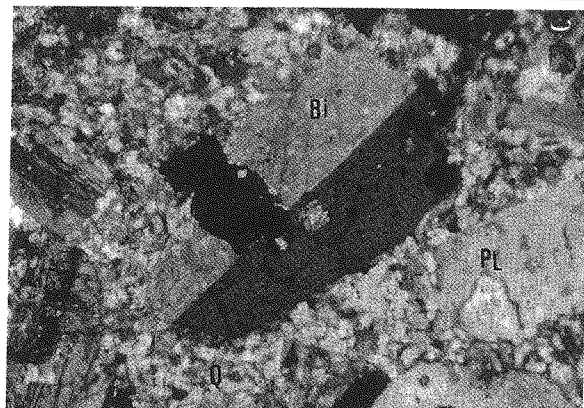
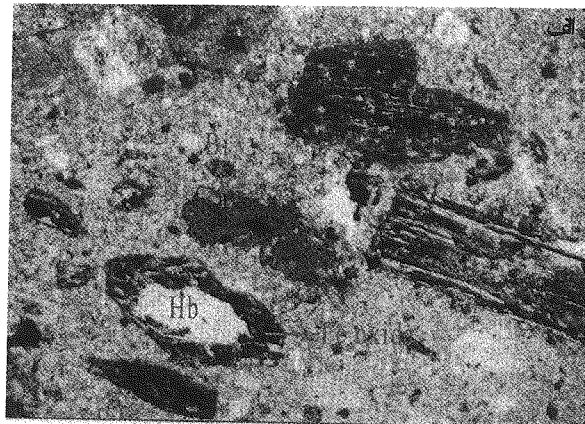
دگرسانی پروپیلیتیک: در منطقه سرنو، دگرسانی پروپیلیتیک، خارجی‌ترین هاله دگرسانی را به رنگ سبز تشکیل می‌دهد. حفره‌های پر شده از کلسیت و کلریت در صحرا قابل مشاهده است. این دگرسانی بر سنگ دیواره و برخی از دایک‌های منطقه، منطبق است و شامل کانی‌های گروه اپیدوت، کلریت، کلسیت و به مقدار کمتر، کانی‌های رسی و سریسیت می‌باشد.

دگرسانی سیلیسی: در این منطقه، دگرسانی سیلیسی در توده نفوذی کوارتزدیوریت پورفیری مشاهده می‌شود. هجوم سیالات غنی از سیلیس، حاصل مرحله پایانی فعالیت گرمابی است [۵] که باعث توسعه رگه-رگچه‌های فراوان سیلیسی در منطقه شده است و علاوه بر توده نفوذی، در آتشفشانی‌های ائوسن به مقدار کمتر مشاهده می‌شود.

ساخی دگرسانی‌ها: از دیگر دگرسانی‌های مشاهده شده در منطقه می‌توان به سوسوریتی‌شدن، کلسیتی‌شدن، اپیدوتی‌شدن و کلریتی‌شدن اشاره کرد که به طور پراکنده در توده نفوذی و آتشفشانی‌های ائوسن دیده می‌شود.

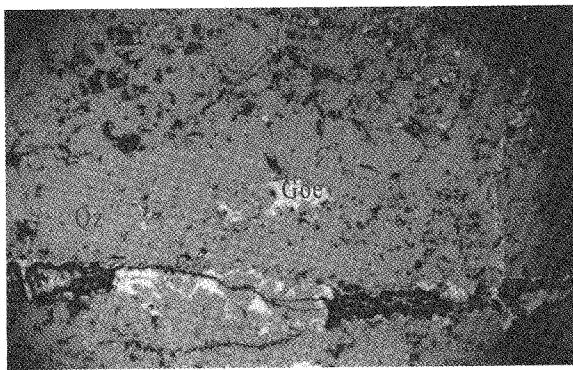
۱-۵- کانه‌زایی

کانه‌زایی در منطقه سرنو، در قالب دو بخش درون‌زاد و برون‌زاد صورت گرفته است. کانه‌زایی درون‌زاد به صورت انتشاری و رگچه‌ای دیده می‌شود.

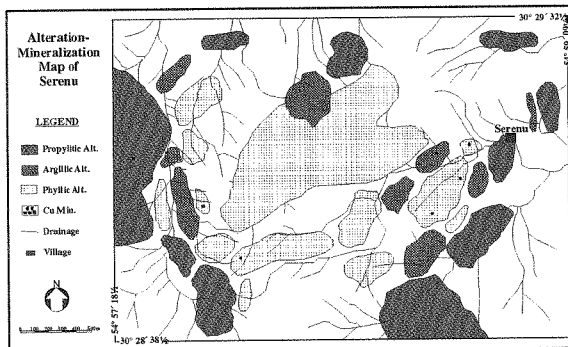


شکل (۳): تصاویر میکروسکوپی واحدهای سنگی منطقه سرنو:
الف) آندزیت ائوسن، ب) کوارتزدیوریت پورفیری لیگومیوسن، ج)
داسیت نئوژن

دگرسانی پتاسیک: دگرسانی پتاسیک در منطقه از گسترش بسیار کمی برخوردار است. از آنجا که در توده نفوذی سرنو، اکثر بیوتیت‌های اولیه و هورنبلندها، تحت دگرسانی بیوتیت‌شدن (بیوتیت ثانویه) قرار گرفته‌اند و نیز بخش ناچیزی از پلاژیوکلازها به ارتوز ثانویه تبدیل شده است، می‌توان نتیجه گرفت که دگرسانی پتاسیک از نوع ضعیف است. این نوع دگرسانی را می‌توان حاصل کاهش غلظت یون پتاسیم نسبت به یون هیدروژن در سیال گرمابی دانست [۶]، (شکل ۴).



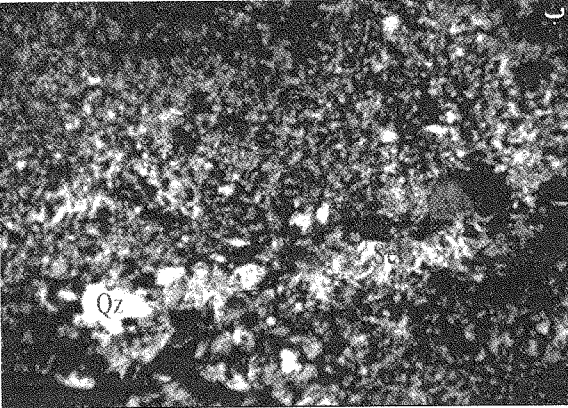
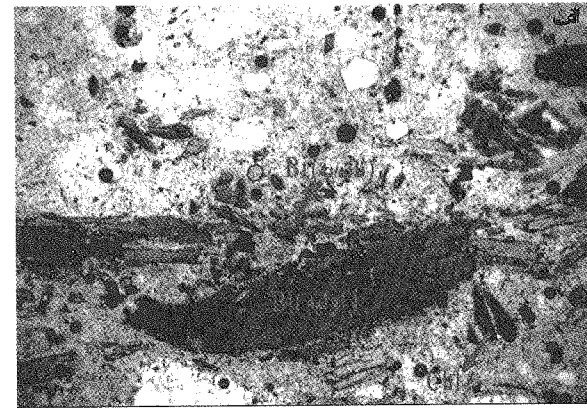
شکل (۵): تصویر میکروسکوپی کانه‌زایی در منطقه سرنو



شکل (۶): نقشه دگرسانی-کانه‌زایی در اثر معدنی سرنو

در اثر معدنی مس پورفیری سرنو، سولفیدهای اولیه، کانه‌های اصلی را تشکیل می‌دهند و سولفیدهای ثانویه، کمیاب هستند [۱۲]. در مطالعه میکروسکوپی مادهٔمعدنی، همراهی کانی‌ای زیر مشخص شد: پیریت، کالکوپیریت، مگنتیت، هماتیت، پیروتیت، تتراهردیت، اناژیت، گالن، اسفالاریت، کالکوسیت، کوولیت و روئیت. عده‌ترین و مهم‌ترین کانه‌ها، پیریت و کالکوپیریت است. مقادیر دیگر کانه‌ها، بسیار ناچیز و قابل چشم‌پوشی است. عیار پیریت بین ۰/۶ تا ۱۰ درصد متغیر است. این کانی فراوان‌ترین کانی معدنی است و آتشتنگی‌هایی را تشکیل می‌دهد و یا شکستگی‌های خیلی ریز را پر می‌کند. پیریت معمولاً به صورت بی‌شکل، یا تمام‌بلور و ریزدانه است و دارای میانبارهای مگنتیت، کالکوپیریت و پیروتیت است. قسمت‌هایی از پیریت، خورده شده و به‌وسیلهٔ کالکوپیریت جانشین شده است. کالکوپیریت فراوان‌ترین کانی مس‌دار است، این کانی به طور نامنظم توزیع شده و آتشتنگی‌ها یا رگچه‌هایی را تشکیل می‌دهد. همبستگی متقابل بین عیار پیریت و کالکوپیریت مشاهده نشده و کالکوپیریت در بعضی از بخش‌های نفوذی‌ها به مراتب فراوان‌تر است؛ در حالی که در همین قسمت‌ها، مقدار کلی سولفیدها کمتر است [۱۲].

به طور متوسط، عیار کالکوپیریت در منطقه حفاری شده حدود ۰/۴ درصد است. کالکوپیریت معمولاً به صورت ریزدانه

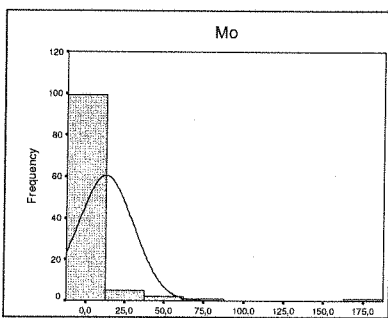
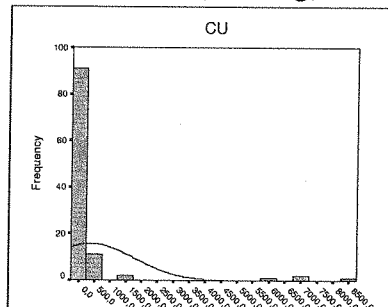


شکل (۴): تصاویر میکروسکوپی دگرسانی در واحدهای سنگی منطقه سرنو؛ (الف) دگرسانی پیاسیک، (ب) دگرسانی فیلیک

در مشاهدات صحرایی، کانه‌سازی به صورت استوکورک و شکستگی‌های آغشته به اکسید آهن، ملاکیت با رگچه‌های سیلیسی همراه با کانه‌زایی است. کانه‌سازی اولیه یا درون‌زاد که در نتیجه تأثیر سیالات ماقمایی-گرمایی کانه‌دار تشکیل می‌شود، قسمت اعظم کانه‌سازی مس را در منطقه به خود اختصاص داده است. پیریت، فراوان‌ترین کانی سولفیدی اولیه است. کالکوپیریت به صورت بی‌شکل، پراکنده و رگچه‌ای است. غنی‌شدگی ثانویه در ناحیه سرنو، چندان گسترش ندارد و علت آن را می‌توان بالا بودن سطح آب زیرزمینی و توپوگرافی پست منطقه دانست که در نتیجه آن، میزان شسته‌شدن عناصر فلزی کاهش می‌یابد، و همچنین وجود بارندگی‌های شدید، سبب انتقال سریع عناصر شسته‌شده به چرخه آب‌های سطحی و خروج آنها از منطقه شده است. مجموعه‌های سولفیدی غنی‌شدگی ثانویه در منطقه شامل کوولیت (که به مقدار کم جانشین کالکوپیریت شده است) و نیز کالکوسیت (به عنوان محصول دگرسانی کالکوپیریت) است. در منطقه اکسیدان، ملاکیت، کالکانتیت، گوتیت، هماتیت و ژاروسیت دیده می‌شود (شکل ۵).

شکل (۶) نقشه دگرسانی-کانه‌زایی در اثر معدنی سرنو را به نمایش می‌گذارد.

آماری این متغیرهاست [۲۳]. در شکل (۷) با توجه به هیستوگرام داده‌های خام Cu و Mo تابع Cu و Mo از یک توزیع بهنگار لگاریتمی (lognormal distribution) تبعیت می‌کند. برای مس و مولیبden، هر کدام دو جمعیت می‌توان در نظر گرفت. بالاترین عیار مس ۸۴۰۰ ppm است. در مجموع، هر دو نمودار، چولیدگی مولیبden ۱۶۶ ppm است. در جدایش زمینه (skewness) مثبت دارند. تفکیک جمعیت‌ها در جدایش زمینه ژئوشیمیایی از مقدار بی‌亨جاری (anomaly) اهمیت دارد.



شکل (۷): هیستوگرام داده‌های خام مس و مولیبden در اثر معدنی سرنو

وجود یک چنین تابع توزیع مقادیر مس، حاکی از کانی‌سازی درون‌زاد و کم‌عیار در بخش‌های مرکزی متمایل به شمال و جنوب‌شرقی اثر معدنی سرنو است. بیشترین فراوانی عنصر مولیبden به پایین‌ترین حد تمرکز این عنصر مربوط است که شناسانده‌هندۀ حد پاییتی حساسیت دستگاه اندازه‌گیری انتیک است. این مقادیر تحت عنوان داده‌های هنگار شده شناخته شده و تأثیر زیادی در تغییرشکل تابع پراکنده‌گی و ایجاد چولیدگی در نمودار توزیع دارد و بنابراین سعی می‌شود با قرار دادن مقادیر معین به جای مقادیر هنگار شده، تأثیر چنین داده‌هایی به حداقل برسد. در اثر معدنی سرنو، بیشترین مقدار کانه‌زایی Mo، در بخش مرکزی و با روند شرقی-غربی است که تقریباً منطبق بر کانه‌زایی Cu است. با توجه به ضرایب همبستگی Spearman (جدول ۱) می‌توان نتیجه گرفت که بیشترین همبستگی Cu با Mo و K₂O است. با در نظر گرفتن همبستگی منفی Cu و Al₂O₃ می‌توان نتیجه گرفت که کانه‌زایی در زون

و بی‌شکل است و در هم‌رشدی با پیریت دارد و یا تشکیل میانبار در این کانی می‌دهد. مگنتیت به صورت ریزدانه و ایدیومرف و حاوی میانبارهایی از سولفیدها (عمدتاً کالکوپیریت) است. مگنتیت غالباً به همایت تبدیل می‌شود. پیریت بسیار کمیاب است و میانبارهای ریز در داخل تتراهدریت را تشکیل می‌دهد. گالن و اسفالریت رگچه‌های ریز و بسیار کمیابی را در داخل شکستگی‌های ریز تشکیل می‌دهند. این دو کانی همچنین در هم‌رشدی با کالکوپیریت دارند. کالکوسیت و کوولیت محصولات دگرسانی کالکوپیریت هستند و پوشش‌های نازکی را در طول شکاف‌ها تشکیل می‌دهند یا اینکه روی دانه‌های کالکوپیریت را می‌پوشانند [۱۲].

۶- بررسی‌های لیتوژئوشیمیایی

بررسی‌های لیتوژئوشیمیایی باید با تکیه بر قوانین حاکم بر تمرکز عناصر در سنگ‌ها انجام شود [۱]، [۳]. در این روش، تغییرات تمرکز شاخص‌های ژئوشیمیایی بسیار بالاهمیت است. عناصر معرف باید طوری انتخاب شوند که بتوانند نشان‌دهنده شاخص‌ترین مراحل یا فرآیندهای تشکیل کانسار باشند [۲]. در این تحقیق، ۱۰۸ نمونه در مساحتی بالغ بر ۳ کیلومتر مربع در جهت شرقی-غربی با ابعاد 100×100 متر از رخمنو به صورت ردیفی-تصادفی برداشت شد. در طراحی این شبکه نمونه‌برداری، محدوده زون‌های دگرسانی-کانی‌سازی و نیز محدوده عملکرد فرآیندهای ساختاری مدنظر بوده است. قابل ذکر است که در بعضی موارد، به دلیل پوشش منطقه و آبرفت و عدم وجود رخمنو سنگی در طول یک مسیر، نمونه‌ای برداشت نشد. برای جلوگیری از آلودگی نمونه‌ها، تمامی مراحل آماده‌سازی، با دقت انجام و نمونه‌ها برای اکسیدهای SiO₂، Fe₂O₃، CaO، MgO، Na₂O، Al₂O₃، Pb، Zn و Cu به روش‌های XRF و AAS و نیز تعدادی از نمونه‌ها برای اطمینان بیشتر به روش شیمی مرطوب در آزمایشگاه مرکزی مجتمع مس سرچشمه تجزیه شدند. داده‌های حاصل از تجزیه نمونه‌ها، تحت برنامه‌های آماری و زمین‌آماری، مورد تجزیه و تحلیل قرار گرفتند.

تجزیه و تحلیل آماری داده‌های ژئوشیمیایی

در پردازش داده‌های ژئوشیمیایی، اولین قدم، تعیین مقادیر عنصری به عنوان متغیرهای اکتشافی و مطالعه توابع توزیع

آرژیلیک وجود ندارد.

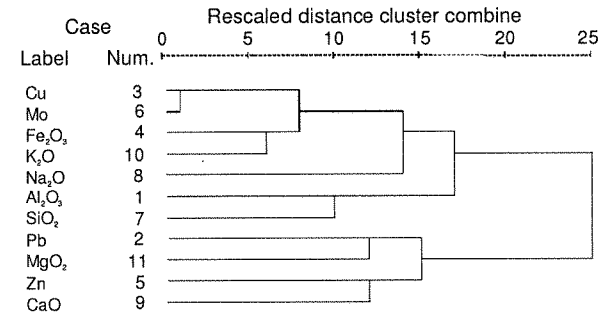
جدول (۱): همبستگی چندکانه ژئوشیمیایی عناصر در اثر معدنی سرنو

Cu	1											
Pb	0.092	1										
Zn	0.209	0.031	1									
Mo	0.212	0.460	-0.122	1								
Al ₂ O ₃	-0.174	-0.296	0.063	-0.141	1							
K ₂ O	0.042	0.225	-0.032	0.238	-0.349	1						
CaO	-0.010	-0.482	0.270	-0.321	0.235	-0.260	1					
Fe ₂ O ₃	0.400	-0.188	0.533	-0.033	0.188	-0.170	0.362	1				
SiO ₂	-0.187	0.235	-0.417	0.271	0.081	0.161	-0.688	-0.451	1			
MgO	0.224	-0.276	0.431	-0.153	0.262	-0.376	0.652	0.576	-0.538	1		
Na ₂ O	-0.036	-0.229	0.040	-0.238	0.044	-0.327	0.431	-0.091	-0.658	0.274	1	
Cu	Pb	Zn	Mo	Al ₂ O ₃	K ₂ O	CaO	Fe ₂ O ₃	SiO ₂	MgO	Na ₂ O		

همبستگی منفی Cu با CaO و مثبت ضعیف با MgO نشان دهنده کاهن زایی بسیار ضعیفی در منطقه پروپلیتیک است که به علت آغشتگی ملاکتی است؛ ولی بین Cu و SiO₂ همبستگی منفی است که نشان دهنده رخمنون کم توده نفوذی و سیلیسی شدن ضعیفی در منطقه است. همبستگی خوبی بین اکسیدهای CaO و MgO و Fe₂O₃ دیده می شود؛ ولی با این وجود، به طور کلی، بیشترین پراکندگی مس و مولیبدن در مرکز اثر معدنی است و پراکندگی Zn و Pb در حاشیه ها و منطبق با دیگر کانسارهای مس پوروفیری است. شکل (۸) نمودار خوشهای منطقه را نشان می دهد که با توجه به مطالب ذکر شده، همبستگی های موجود چیزی دور از ذهن نیست.

HIERARCHICAL CLUSTER ANALYSIS

Dendrogram using average linkage (between groups) at Serenu



شکل (۸): نمودار خوشهای اثر معدنی سرنو

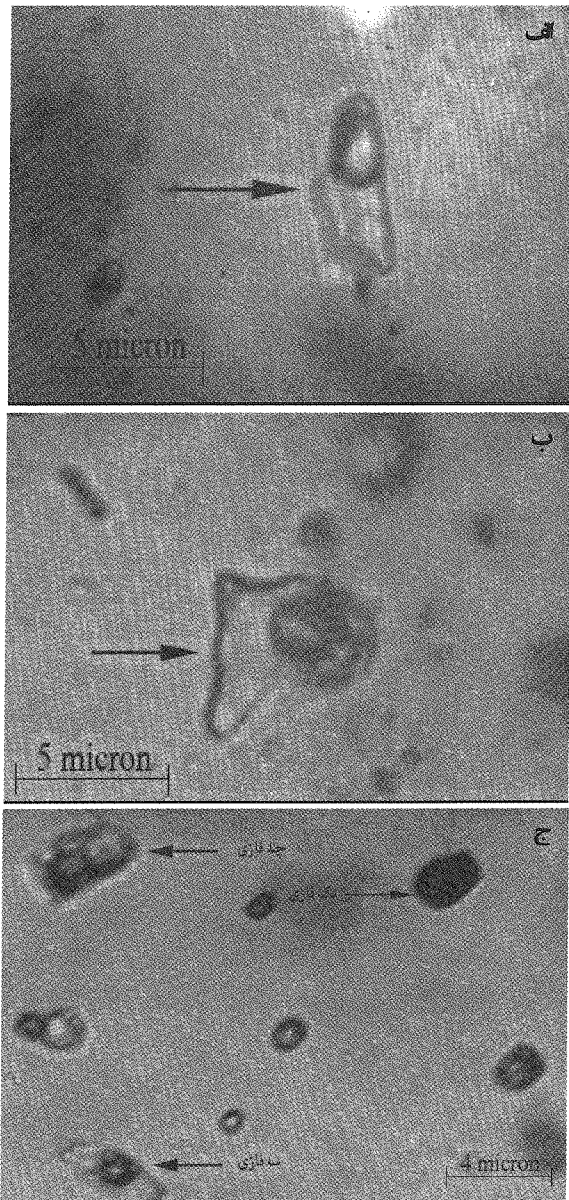
محاسبه سطح فرسایش

گسل های متعدد و فراوان در اثر معدنی سرنو وجود دارد که مهم ترین آنها، گسلی با روند شرقی - غربی است که از مرکز منطقه می گذرد و این اثر معدنی را به دو بخش شمالی و جنوبی تقسیم می کند. با توجه به شاخص های منطقه بندی به دست آمده از نسبت Pb*Zn/Cu*Mo در بخش های مختلف اثر معدنی، چنین نتیجه می شود که قسمت های شمالی، غربی و جنوب شرقی منطقه فرسایش کمتری را تحمل شده، و توده معدنی احتمالاً در عمق بیشتری قرار داشته است. البته، باید در مورد عناصر فوق کانساری با احتیاط برخور德 شود. نسبت

ضریب منطقه بندی در بخش های شمالی، غربی و جنوب شرقی منطقه بین ۰/۰ تا ۰/۶ و منطبق بر دگرسانی فیلیک و همچنین بیشترین میزان عیارهای مس و مولیبدن است.

۷- مطالعه سیالات در گیر

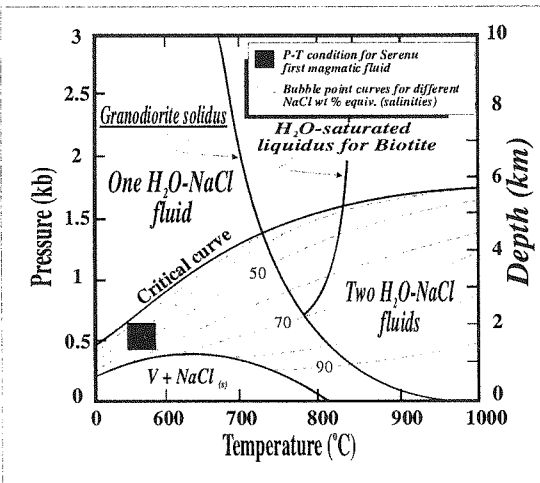
لازم هر گونه مطالعه و اندازه گیری سیالات در گیر، نمونه برداری صحیح و آماده سازی مقاطع خوب و قابل استفاده در مطالعات میکرو ترمومتری است [۲۲]. نمونه برداری در منطقه مورد مطالعه با توجه به گسترش کم توده نفوذی و سیلیسی شدن کم به صورت محدود و از نمونه های رگه ای کوارتزی صورت گرفت. نمونه های حاوی رگه های برداشت شده به زون فیلیک اثر معدنی سرنو مربوط است و سعی بر آن شد که از نمونه های با رگه های کوارتزی شفاف برداشت شود؛ زیرا کوارتز شفاف معمولاً بالاترین احتمال برای تهیه مقاطع مناسب سیال در گیر را دارد است [۲۷]. علاوه بر موارد فوق سعی شد نمونه برداری از مناطق با عیار بالا صورت گیرد. همبستگی مستقیم بین کوارتز به عنوان باطله با کانی زایی مناسب تر مس در رگه ها، اساس برداشت نمونه ها قرار گرفت. در مجموع ۲۰ میلی متر به سیله دستگاه مطالعه سیالات در گیر در دانشگاه صنعتی امیرکبیر تهیه شد. در این مطالعه، نمونه ها تا ضخامت ۲۰۰ میکرون نازک شده اند. مطالعات پتروگرافی، ابتدا با میکروسکوپ معمولی و سپس با خرد کردن TMS92 و سرد کردن Linkam HF-S91 با کنترل حرارتی LNP در دانشگاه تربیت مدرس انجام شد. با بررسی سیالات در گیر در نمونه های مورد مطالعه مشخص شد که بعضی از سیالات اندازه گیری شده، دوفازی غنی از مایع (L+V) و مقدار کمتری از آنها سه فازی (S+L+V) هستند؛ اما در مجموع سیالات غنی از گاز در مقاطع، فراوان ترین سیالات بوده اند. بیشتر این گروه اخیر سیالات در گیر تک فازی غنی از مایع بزرگ گاز و در شکل (۹ ب)، سیالات دوفازی غنی از مایع همراه با حباب گاز آورده شده است. در شکل (۹ ج)، همچوی سیالات چند فازی و سه فازی همراه با سیالات تک فازی غنی از گاز؛ که نشان دهنده جوشش در سیستم های پوروفیری است، دیده می شود. در نتیجه این جوشش، تمامی مس موجود در محلول نهشته شده است. ذکر این نکته لازم است که اکثر سیالات در گیر مورد بحث از نوع اولیه و همچنین فاز گازی در تمامی سیالات از نوع CO₂ است. این واقعیت با انجام Crashing Test و افزایش ناگهانی حجم گاز در جریان آزمایش تأیید شد. مطالعات سیالات در گیر در مقایس میکروسکوپی و در دو بخش



شکل (۹): تصاویر میکروسکوپی سیالات درگیر در اثر معدنی مس پورفیری سربنو؛ (الف) سیالات سه‌فازی (مربوط به دگرسانی پاتاسیک ضعیف)، (ب) سیالات دوفازی (مربوط به دگرسانی فیلیک)، (ج) همچوایی سیالات چندفازی و سه‌فازی همراه با سیالات تک‌فازی

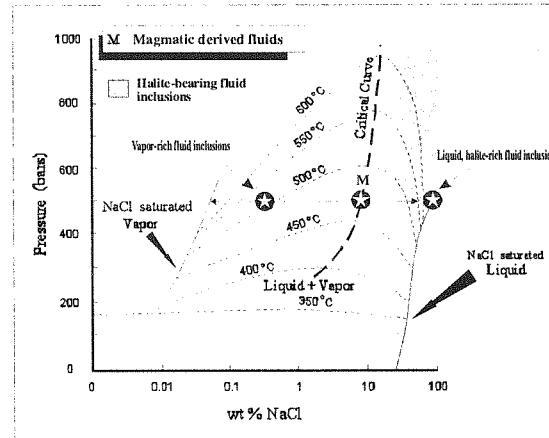
در شکل (۱۰) فراوانی درجه همگن‌شدن سه خانواره مشخص است که فراوانانترین آنها در محدوده دمایی ۲۲۵ تا ۳۲۵ درجه سانتی‌گراد و کمترین فراوانی آنها در محدوده دمایی ۵۰۰ تا ۵۷۵ درجه سانتی‌گراد قرار گرفته‌اند. دماهای بدست آمده در این آزمایش‌ها، به دلیل عدم تصحیحات مربوط به تأثیر فشار، کمترین دمای سیال کانی‌ساز را نشان می‌دهند. در شکل (۱۱) فراوانی شوری در منطقه آورده شده است که داده‌های مربوط به شوری سیال، دو افتادگی را نشان می‌دهد؛

سرمايش (freezing) و گرمایش (heating) صورت پذیرفت. در این مرحله با انتخاب سیالات بزرگ، مشخصات سیال؛ مانند شکل، اندازه، نوع سیال نسبت V/L و عکس‌برداری در مواردی که لازم بود، مدنظر قرار گرفت. در ابتدا، نمونه‌های مناسب را در دستگاه قرار داده و با نرخ سرمايش ۱۰ درجه سانتی‌گراد در دقیقه (Rate $10^{\circ}\text{C}/\text{min}$) و تا حد نهایی -150 درجه سانتی‌گراد دستگاه تنظیم شد. در دمای -50 تا -80 درجه سانتی‌گراد، تمامی نمونه‌ها یخ می‌زنند، سپس به مدت ۲ دقیقه دستگاه در وضعیت ثابت قرار گرفت. بعد از این مرحله، نمونه یخزده با نرخ ۱۰ درجه سانتی‌گراد در دقیقه آزمایش گرمایش شد. در این مرحله، اولین ذوب یخ به عنوان نقطه یوتکنیک (Te) تعیین شد. در ادامه گرمایش، دمای آخرین قطعه یخ؛ که به طور کامل ذوب شده است، یادداشت می‌شود که این همان $\text{Tm}(\text{ice})$ است. با استفاده از Tm می‌توان میزان شوری را به دست آورد؛ سپس برای به دست آوردن دمای همگن‌شدن سیال درگیر، نمونه را آنقدر حرارت می‌دهیم تا سیال، همگن و یکدست شود. با توجه به اینکه سیالات اکثر کانسارهای اقتصادی پایین‌تر از ۴۵۰ درجه سانتی‌گراد همگن می‌شوند [۱۹] و دمای متوسط همگن‌شدن در نمونه‌های سربنو 321 درجه سانتی‌گراد است، می‌توان نتیجه گرفت که دما برای تشکیل یک زون فیلیک خوب با عیار بالا تقریباً مناسب بوده است؛ اما به علت ناپایداری و پایین بودن میزان کمپلکس‌های کلوروره مس - احتمالاً کلر و مس کمی در سیستم از بدو تشکیل وجود داشته تا کمپلکس کلرور مس (CuCl_2) تشکیل و حمل و نهشت را سامان دهنده و در نتیجه، سالم‌تر ماندن فلزسپات‌های قلیایی و شوری کم سیال، در اثر معدنی سربنو، همان مقدار ناچیز کالکوپیریت اولیه تشکیل شده، اکسید و به ملاکیت تبدیل شده است [۲۱]، [۱۵]. علت کمبود Cl را می‌توان به ماقمای اولیه بهشدت فقیر از کلر نسبت داد که بیوتیت و آمفیبول کمی را دارا بوده است؛ زیرا کلر در ساختمان بیوتیت و آمفیبول دیده می‌شود. همچنین مقدار مس از منشاء نیز کم بوده است و این مهم با عدم حضور بلورهای کالکوپیریت و سایر کانی‌های حاوی مس در سیالات درگیر اولیه مشهود می‌باشد.



شکل (۱۲): نمودار عمق به دمای سیالات درگیر تولید شده بر اثر تبلور ماقما در اثر معنی سرنو

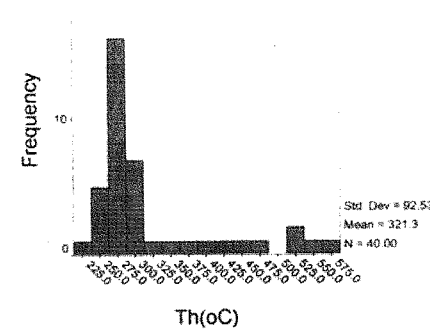
شکل (۱۳) تشکیل این تیپ اخیر سیالات درگیر در بازه‌ای از کاهش دما و فشار را به نمایش می‌گارد که به تشکیل مستقیم آنها از منشأ ماقمایی منجر می‌شود [۱۷].



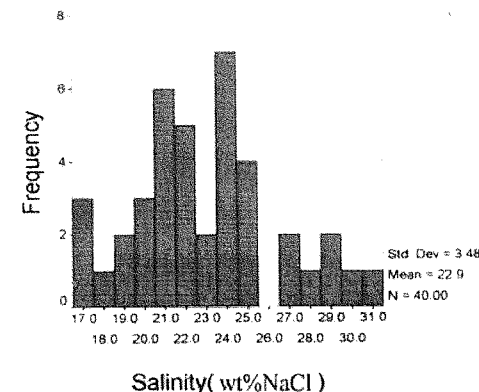
شکل (۱۳): نمودار شوری در مقابل فشار مربوط به تشکیل سیالات درگیر اثر معنی سرنو [۱۷]

همگن شدن سیالات درگیر تأخیری در سیستم سرنو در شکل (۱۴) نشان داده شده است. دمای متوسط همگن شدن آنها ۵۰۰ درجه سانتی‌گراد است که در مرحله مخلوط شدگی ۵۰۰ متر؛ که تقریباً با فشار ۱۲۵ بار برآبر است (نقطه Y در شکل ۱۴)، صورت گرفته است. این در حالی است که محلول‌های ماقمایی در فشار حدود ۵۰۰ بار و در حرارت ۵۷۰ درجه سانتی‌گراد (نقطه M در شکل ۱۴) و تقریباً مشابه آنچه در کانسار ایجو در ۷ کیلومتری شمال اثر معنی سرنو به دست آمد، تولید شده‌اند [۱۷]. این تغییر فشار همچنین نشان می‌دهد که اثر معنی سرنو پس از طی آخرین مرحله تکاملی خود، فرسایش قابل توجهی را تحمل کرده است (شکل ۱۴). مسیر X-Y-Z در شکل (۱۴) نمایش حرکت آب‌های جوی به

يعنى سه خانواده را می‌توان مشخص کرد. سیالات با شوری بالا (که برای تشکیل کانسارهای اقتصادی مس پورفیری مهم هستند) فراوانی بسیار کمی دارند (۰.۲۶٪). از خصوصیات بارز این نمونه‌ها، وجود شوری وقفه‌دار (gap salinity) بود که خاص سیستم‌های مس پورفیری شده است. متوسط شوری در نمونه‌های اندازه‌گیری شده، ۲۲/۹ درصد وزنی نمک طعام بود که برای یک سیال مولد بسیار پایین است [۱۹]. حداکثر شوری در سیالات ۰.۲۰٪ و حداقل آن ۰.۱۶٪ است. وقفه شوری می‌تواند بیانگر فرآیند جوشش در سیال اولیه باشد که خاص سیستم‌های پورفیری است [۱۹]. مخلوط‌شدگی آب‌های جوی و سیالات گرمابی و نهایتاً گسترش زون فیلیک کم‌عیار در منطقه سرنو نشان‌دهنده سیالات با شوری کم است. یکی از دلایل غیراقتصادی بودن اثر معنی سرنو، فراوانی فاز L+V و شوری کم سیالات درگیر مرتبط با کانی زایی مس است.



شکل (۱۰): هیستوگرام فراوانی درجه همگن شدن در اثر معنی سرنو



شکل (۱۱): هیستوگرام فراوانی درجه شوری در اثر معنی سرنو
شکل (۱۲) نمایش عمق به دمای سیالات سرگیر درگیر تولید شده بر اثر تبلور ماقما است [۱۷]. همان‌گونه که ملاحظه می‌شود ایجاد سیالات درگیر این تیپ در زمان انجاماد نهایی یک گرانودیوریت فقری از بیوتیت صورت گرفته است که خود یکی از شروط لازم برای ایجاد یک سیستم پورفیری است [۱۶].

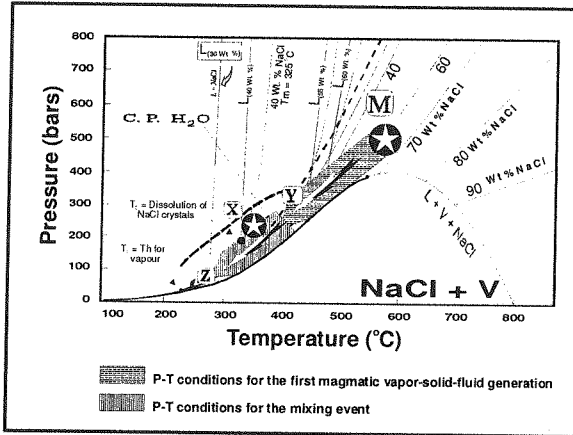
مس-مولیبدن منطبق بر رخنمون توده نفوذی سرنو در مرحله دگرسانی فیلیک می‌باشدند. عناصر سرب و روی در محدوده ۱/۵ تا ۲ کیلومتر، محدوده حرارتی ۳۰۰ تا ۳۷۰ درجه سانتی‌گراد، فشار ۱۵۰۰ تا ۲۰۰۰ بار و شوری ۲۵ تا ۵۸ درصد وزنی نمک طعام قرار می‌گیرند [۸]، [۱۸]، [۲۰]، که این شرایط در مرحله تکوین نهایی سرنو مهیا نبوده است.

جمعی عناصر فوق‌کانساری به تحت‌کانساری در نمونه‌های سطحی نشان می‌دهد که در قسمت‌های مرکزی متمایل به شمال و جنوب‌شرقی متمایل به شرق، اثر معدنی سرنو فرسایش کمتری یافته و توده معدنی احتمالاً در عمق بیشتری قرار گرفته است. بر اساس مطالعه سیالات درگیر و نمودار عمق به دمای همگن شدن، برای اثر معدنی سرنو، در مرحله تولید سیالات محدودی حدود ۲۰۰۰ متر تقریباً معادل ۵۰۰ بار و فشار مرحله مخلوط شدگی به طور متوسط، ۵۰۰ متر معادل با فشار ۱۲۵ بار بوده است. این محاسبات نشان می‌دهند که فرسایش قابل توجهی بر روی این اثر معدنی انجام یافته است. شوری سیالات تشکیل‌دهنده این اثر معدنی، در مرحله تکوین نهایی بسیار پایین و به طور متوسط، معادل ۲۲/۹ درصد وزنی نمک طعام است. متوسط دمای همگن‌شدن سیالات درگیر در این مرحله ۳۲۱ درجه سانتی‌گراد منطبق بر زون فیلیک است. با توجه به اینکه سیالات اکثر کانسارهای مس پورفیری اقتصادی پایین‌تر از ۴۵ درجه سانتی‌گراد همگن می‌شوند، می‌توان نتیجه گرفت که دما برای تشکیل یک زون فیلیک خوب با عیار بالا تقریباً مناسب بوده است؛ اما کمپلکس‌های کلرور مس ($CuCl_2$) تولید شده از فعالیت ماسکمایی اولیه بسیار ناچیز و به عبارتی برای نهشت حجم وسیعی از مس به صورت سولفور های آن که توانایی تشکیل یک سیستم پورفیری زایا را داشته باشد، وجود نداشته است. در نتیجه این کار کم، شوری سیالات نیز کم شده و مقدار ناچیز کالکوپیریت تشکیل شده در سرنو نیز به مجموعه‌های اکسیدی تبدیل شده است؛ بنابراین انجام عملیات اکتشافی تکمیلی بر روی این اثر معدنی در حال حاضر پیشنهاد نمی‌شود.

۳-۹- تقدیر و تشرک

از مسئولین و کارشناسان محترم مجتمع مس سرچشمه به ویژه آقایان مهندسین پورکانی، آتش‌بنجه و شفیعی به خاطر حمایت از انجام این پژوهش تشرک و قدردانی می‌شود.

داخل زمین و اختلاط آنها با سیالات ماسکمایی حاصل از مرحله M است. به طور کلی، اکثر معادن مس پورفیری ایران در عمق ۱/۵ تا ۲ کیلومتر، محدوده حرارتی ۳۰۰ تا ۳۷۰ درجه سانتی‌گراد، فشار ۱۵۰۰ تا ۲۰۰۰ بار و شوری ۲۵ تا ۵۸ درصد وزنی نمک طعام قرار می‌گیرند [۸]، [۱۸]، [۲۰]، که این شرایط در مرحله تکوین نهایی سرنو مهیا نبوده است.



شکل (۱۴): سازوکار تشکیل سیالات مولد موجود در اثر معدنی سرنو بر روی نمودار فشار-دما برای سیستم آب-نمک

۸- نتیجه‌گیری

توده نفوذی سرنو دو فاز ماسکمایی دیبوریت و کوارتزدیبوریت دارد که در مرحله آخر به طور ضعیفی تحت تأثیر محلول‌های کانه‌دار و سیلیسی قرار گرفته و رگه-رگچه‌های سیلیسی در سطح توده نفوذی دیده می‌شود. محلول‌های کانه‌دار همراه و پی‌آمد توده نفوذی، باعث دگرسانی شدید این توده‌ها و سنگ‌های درونگیر شده است که در محدوده مورد مطالعه، دگرسانی فیلیک با گسترش زیاد و همچنین دگرسانی رسی و پروپیلیتیک در حاشیه مشاهده می‌شود. دگرسانی بیوتیتی گسترش بسیار محدودی دارد. همچنین دگرسانی سیلیسی در توده نفوذی با گسترش محدود دیده می‌شود. دگرسانی فیلیک در خصوص سیالات دوفازه حرارت متوسط تا بالا، دگرسانی پتابسیک ضعیف با سیالات سه‌فازه و دوفازه حرارت بالا و دگرسانی پروپیلیتیک با سیالات دوفازه غنی از مایع با حرارت پائین تا متوسط است. کانی زایی در منطقه، شامل درون‌زاد، غنی‌شدن سولفیدی ثانویه و اکسیدی است. منطقه غنی‌شدن سولفیدی ثانویه ضخامت بسیار کمی دارد و از گسترش ناچیزی نیز برخوردار است. پاراژنز کانیایی در این منطقه شامل کالکوسیت و بورنیت است [۱۰]. در منطقه اکسیدان نیز ژاروسیت، گوتیت، هماتیت، مالاکیت و کالکانیت گسترش دارند. بررسی‌های لیتوژئوشیمیایی و آماری نمونه‌های سنگ بستر نشان می‌دهد که بی‌هنجری‌های

۱- مراجع

- [۱۷] Hezarkhani, A.; "Mineralogy and fluid inclusion investigations in the Reagan porphyry system, Iran, the path to an uneconomic porphyry copper deposit", *J. Asian Earth Sciences*, Elsevier, The Netherlands., vol. 27, pp. 598-612, 2006.
- [۱۸] Hezarkhani, A.; "Fluid inclusion investigations of the Raigan porphyry copper system, Kerman-Bam, Iran", *International Geology Review*, Stanford, U.S.A., vol. 48, no. 3, pp. 255-270, 2006.
- [۱۹] Hezarkhani, A.; "Alteration/Mineralization and controls of chalcopyrite dissolution/deposition in the Raigan porphyry system, Bam-Kerman, Iran", *International Geology Review*, Stanford, U.S.A., vol. 48, no. 6, pp. 561-572, 2006.
- [۲۰] Hezarkhani, A.; Williams-Jones, A. E.; "Controls of alteration and mineralization in the Sungun porphyry copper deposit, Iran: Evidence from fluid inclusions and stable isotopes", *Econ. Geol.*, vol. 93, pp. 651-670, 1998.
- [۲۱] Hezarkhani, A.; Williams-Jones, A. E.; Gammons, C. H.; "Factors controlling copper solubility and chalcopyrite deposition in the Sungun porphyry copper deposit, Iran", *Mineral. Deposita*, Springer, Berlin/Heidelberg, vol. 34, no. 8, pp. 770-783, 1999.
- [۲۲] Roedder, E.; Bodnar, R. J.; "Fluid inclusion studies of hydrothermal ore deposits". In: Barnes, H. L. (Ed.) *Geochemistry of hydrothermal ore deposits*, Wiley, New York, pp. 657-697, 1997.
- [۲۳] Rose, A. W.; Hawkes, H. E.; Webb, J. S.; *Geochemistry in mineral exploration*, 2nd edition, Academic Press, 1979.
- [۲۴] Saric, V.; Exploration for copper in Serenu area, G.S.I. Rep. 38/Yu, 1972.
- [۲۵] Shahabpour, J.; "Some secondary ore formation features of the Sar Cheshmeh porphyry copper-molybdenum deposit, Kerman, Iran", *Mineral. Deposita*, Springer, Berlin/Heidelberg, vol. 26, no. 4, pp. 275-280, 1991.
- [۲۶] Shelley, D.; Igneous and metamorphic rocks under the microscope, Chapman and Hall, 1991.
- [۲۷] Shepherd, T. J.; *A practical guide to fluid inclusion studies*, 1985.
- [۲۸] Wilkinson, J. J.; "Fluid inclusions in hydrothermal ore deposits", *Lithos*, vol. 55, pp. 229-272, 2001.
- [۲۹] پرند، سیمین؛ روش‌های اکتشافات ژئوشیمیایی ذخایر معدنی، ترجمه، بیوس، ا.ا. و گریگوریان، س.و، سازمان زمین‌شناسی و اکتشافات معدنی کشور، ۱۳۷۰.
- [۳۰] حسنی‌پاک، علی‌اصغر؛ اصول اکتشافات ژئوشیمیایی، انتشارات دانشگاه تهران، ۱۳۷۰.
- [۳۱] حسنی‌پاک، علی‌اصغر؛ ژئوشیمی اکتشافی محیط سنگی، انتشارات دانشگاه هرمزگان، بندرعباس، ۱۳۷۶.
- [۳۲] ذین‌الدینی، احسان؛ *مطالعه لیتوژئوشیمی، دگرسانی و سیالات درگیر اثر معدنی مس پورفیری سربون، شمال‌غرب شهریاک، پایان‌نامه کارشناسی ارشد، دانشگاه تربیت مدرس، تهران*، ۱۳۸۴.
- [۳۳] شهاب‌پور، جمشید؛ *زمین‌شناسی اقتصادی، انتشارات دانشگاه شهید باهنر، کرمان*، ۱۳۷۹.
- [۳۴] طالبی، محمد؛ *مطالعه لیتوژئوشیمی، دگرسانی و سیالات درگیر کانسار مس پورفیری ایجو، شمال‌غرب شهریاک، پایان‌نامه کارشناسی ارشد، دانشگاه تربیت مدرس، تهران*، ۱۳۸۴.
- [۳۵] مرادیان، عباس؛ *بررسی پترولوجیکی و ارزیابی اقتصادی سنجهای آذرین فلدسپاتوئینیدار شمال شهریاک (جوزم)، پایان‌نامه کارشناسی ارشد، دانشگاه تهران*، ۱۳۶۹.
- [۳۶] Bazin, D.; Hubner, H.; *Copper deposits in Iran*, Geological Survey of Iran, Rep. 13, 1969.
- [۳۷] Beane, R. E.; Titley S. R.; "Porphyry copper deposits; part II: Hydrothermal alteration and mineralization", *Econ. Geol.* 75th Anniv. Vol., pp. 214-269, 1981.
- [۳۸] Dimitrijevic, M.; *Geology of Kerman region*, Geol. Surv. Iran, Rep. No. Yu/52, 1973.
- [۳۹] Dimitrijevic, M.; Djordjevic, M.; Petrovic, Z.; *Geological map of Robat, 1:100000 Series, Sheet 6950*, Geol. Surv. Iran, 1971.
- [۴۰] Geological Survey of Iran (GSI); *Exploration for ore deposits in Kerman region*, Rep. No. Yu/53, 1973.
- [۴۱] Geological Survey of Iran (GSI); *Metallogenic map of Kerman region*, Scale 1:500000, 1973.
- [۴۲] Guillet, J. M.; Park, C. F.; *The geology of ore deposits*, W.H. Freeman and Company, New York, 1986.
- [۴۳] Hezarkhani, A.; *Physicochemical controls on alteration and copper mineralization in the Sungun porphyry copper deposit, Iran*, Unpublished Ph.D. thesis, McGill University, 1997.
- [۴۴] Hezarkhani, A.; "Petrology of the intrusive rocks within the Sungun porphyry copper deposit, Azerbaijan, Iran", *J. Asian Earth Sciences*, Elsevier, The Netherlands., vol. 27, pp. 326-340, 2006.